

شبیه‌سازی آزمون واژگونی اتوبوس O457 و اصلاح سازه آن به منظور ارضای شرایط آزمون

محسن اصفهانیان^{*}، احسان کبیری^{**} و سعید ضیائی راد^{***}
دانشکده مهندسی مکانیک، دانشگاه صنعتی اصفهان

(دریافت مقاله: ۱۳۸۷/۸/۱۵ - دریافت نسخه نهایی: ۱۳۸۸/۱۲/۱۹)

O457

(Rollover - ECE.66)

- چکیده

-ECE66

: واژگان کلیدی

Rollover Simulation and Required Structural Modification of O457 Bus

M. Esfahanian, E. Kabiri and S. Ziae-Rad

Mechanical Engineering Department, Isfahan University of Technology

Abstract: The present paper is to examine European rollover standard (ECE66) on O457 bus, using computer simulation method. Due to the huge size of the analyzed structure and unavailability of supercomputers and also according to the rollover

**** - دانشیار

** - دانشجوی کارشناسی ارشد

* - استادیار

regulation, the equivalent method, i.e., body section rollover test is selected. Also, because of impossibility of real test, the simulation results have been qualitatively compared with the existing experimental results. The extracted results show that deformation occurs mainly in the pillar-to-floor and pillar-to-roof joints, while the roof and chassis have small deformations. As the deformations in the body were greater than the standard level and the bus failed the test, suggestions were made to increase the body strength. The suggestions are based on the available capabilities and limitations of the production process.

Keywords: Finite element simulation, ECE66 standard, Rollover test, Bus.

و قابل پیش‌گیری‌اند [۲]. احتمال پدیده و اژگونی در سایل نقلیه سنگین که مرکز ثقل آنها نسبت به خودروهای سبک در نقطه‌ای بالاتر از سطح زمین قرار دارد، بیشتر است [۳].

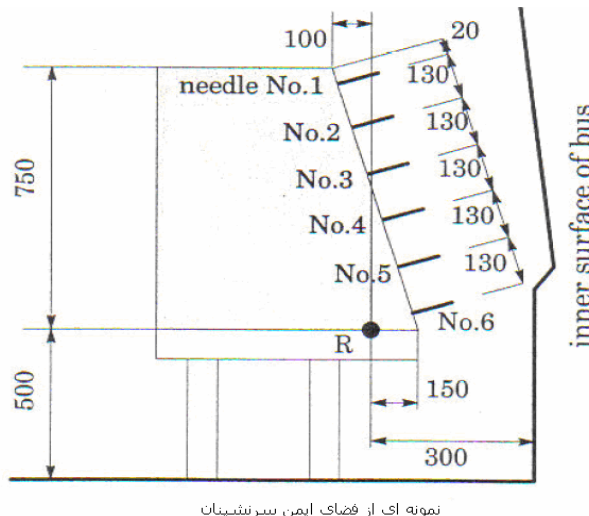
واژگونی سایل نقلیه یکی از جدی‌ترین تصادفات جاده‌ای سایل نقلیه است، چرا که احتمال آسیبهای منجر به مرگ در واژگونی نسبت به سایر تصادفات جاده‌ای بسیار بیشتر است. تحقیقات انجام شده در سالهای ۱۹۹۷ تا ۲۰۰۱ نشان می‌دهد که علی‌رغم آنکه درصد تصادفات واژگونی در قیاس با سایر تصادفات خیلی کم است، ۸٪، ۲۱٪ و ۳۱٪ و آسیبهای جدی وارد به مسافرین در پدیده واژگونی، سهم عمده‌ای را در آسیهای و تلفات جاده‌ای به خود اختصاص می‌دهد. آمار و ارقام دقیق‌تر برای مقایسه درصد انواع تصادفات و نوع آسیهای وارد، در شکل (۱) آورده شده است [۴].

واژگونی از مباحث روز دنیا بوده و قدمت چندان زیادی ندارد. تا اوکی نی و دستیارش، در مقاله‌ای با عنوان روش تحلیل آزمون واژگونی در اتوبوسهای بزرگ، اقدام به انجام یک آزمون عملی و شبیه‌سازی رایانه‌ای براساس استاندارد اروپایی کرده و به تطابق خوبی میان جوابهای عملی با شبیه‌سازی انجام شده رسیدند. به منظور اندازه‌گیری میزان تغییر شکل ستونها در هنگام واژگونی، از یک سری نمونه‌های پلاستیکی به عنوان نمادی برای فضای سرنوشتیان استفاده کردند و تعدادی سوزن با اندازه مشخص، مطابق شکل (۲) کارگذاشتند و در پایان واژگونی با اندازه‌گیری میزان نفوذ سوزنها به داخل نمونه‌های پلاستیکی، مقدار دقیق تغییر شکل ستونها و نفوذ آنها به فضای ایمن سرنوشتیان معین شد. آنها به ارائه دو راهکار برای کاهش زمان محاسبات در شبیه‌سازی المان محدود پرداختند. اول آنکه قسمتهایی از

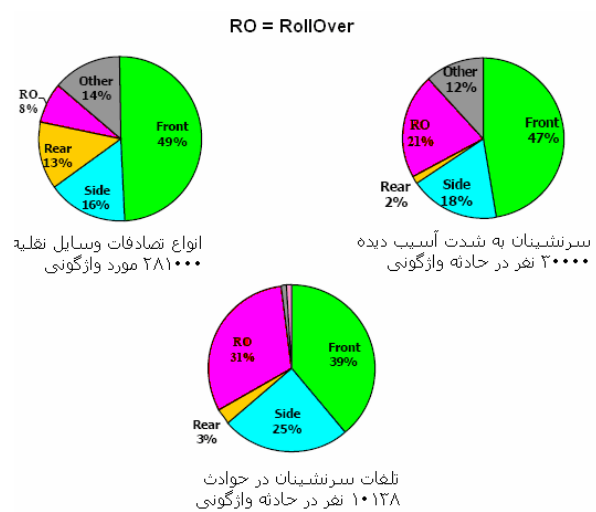
۱- مقدمه

پیش‌بینی دقیق میزان استحکام ساختار و سایل نقلیه، برای تعیین میزان امنیت آنها و همچنین کاهش آسیبهای واردشده به مسافرین، ضروری است. شرکتهای خودروسازی در داخل و خارج از کشور، همواره در حال اصلاح طرحهای خود و ارائه مدل‌هایی جدیدند. بدین منظور تحلیلهای متعدد روی قسمتهای مختلف خودرو انجام می‌شود تا اجزای مختلف خودرو بتوانند عملکرد بهتری از خود نشان بدهند. آزمون واژگونی نیز یک آزمون دینامیکی است که برای سنجش میزان استحکام بدنخودروها انجام می‌گیرد. در این میان رعایت استاندارد واژگونی در ساخت خودروها، در کشورهایی نظیر امریکا و سوئد اجباری شده و در سایر کشورهای پیشرفت‌های اروپایی نیز حرکت به سوی این هدف جریان دارد. در این مقاله نیز با هدف افزایش امنیت مسافران در اتوبوسهای برون‌شهری، تلاش شده است تا به بررسی استاندارد اروپایی واژگونی، بر روی یکی از اتوبوسهای تولیدشده در داخل کشور پرداخته شود.

واژگونی نوعی تصادف است که در آن خودرو حداقل یک چهارم دور دوران می‌کند، صرف نظر از اینکه خودرو در پایان چرخش، بر روی پهلو یا سقف قرار گیرد و یا حتی دوران کامل کرده و بر روی تایرها قرار بگیرد [۱]. اغلب اوقات پدیده واژگونی هنگامی روی می‌دهد که وسیله‌نقلیه پس از ترک جاده با جدول یا حفاظ کنار خیابان یا چیزی شبیه آن برخورد کرده و به آن گیر کرده و به زمین می‌خورد^۱. درصد کمی از تصادفات واژگونی در اثر اصطکاک میان تایر و جاده است^۲. واژگونیهای نوع دوم غالباً در اثر یک تغییر موقعیت ناگهانی در جاده مانند چرخشها یا تغییر مسیرهای سریع رخداده و همچنین بیشتر تابع ویژگیهای فیزیکی وسیله‌نقلیه بوده



شکل ۲- اندازه‌گیری مقدار دقیق تغییرشکلها به کمک سوزن [۵]



شکل ۱- مقایسه درصد انواع تصادفات و نوع آسیهای واردۀ سرنشینان [۴]

جدول ۱- درصد جرم کوپل شده به وسیله‌نقلیه در حین آزمون واژگونی [۶]

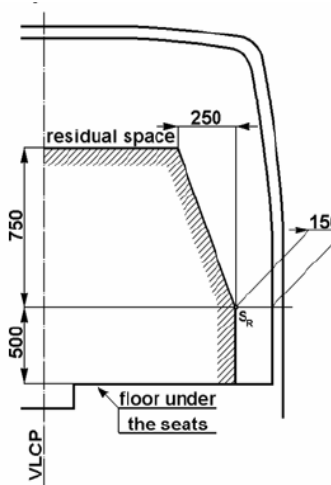
| نوع اتصال | جرم کوپل شده به سازه |
|------------------------------------|----------------------|
| استقرار سرنشینان آزادانه روی صندلی | ۲۰٪. |
| اتصال سرنشینان در دو نقطه به صندلی | ۷۰٪. |
| اتصال سرنشینان در سه نقطه به صندلی | ۹۰٪. |

است [۶].

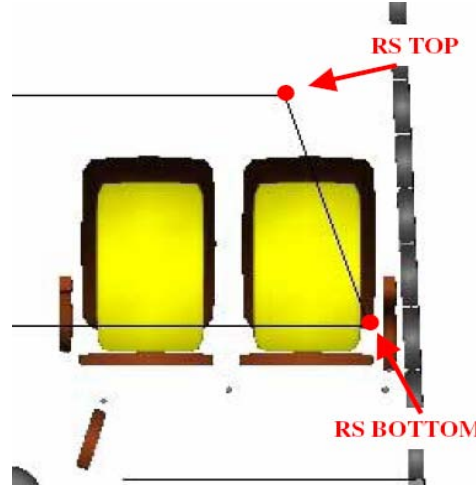
به منظور ارزیابی دقیق تأثیر نوع اتصال سرنشینان بر میزان تغییرشکل ساختار اتوبوس، آزمون واژگونی روی بخشی از سازه (قطعه-بدنه^۴) در شرایط مختلف اتصال سرنشینان به سازه، انجام شده و اجرام و آدمکهای استفاده شده به گونه‌ای انتخاب شدند که مرکز جرم آنها با واقعیت منطبق باشد. در حین انجام آزمون روی این بخش، دو نقطه بالایی و پایینی فضای سرنشینان که به ترتیب با RS TOP و RS Bottom در شکل (۳) مشخص شده است به عنوان معیاری برای اندازه‌گیری تغییرشکل‌های ایجاد شده در سازه استفاده می‌شود. آنها به این نتیجه دست یافتنند که حضور سرنشینان حتی در حالت آزاد باعث افزایش تغییرشکل سازه می‌شود. بنابراین کسب موفقیت در آزمون واژگونی در حالت نبود سرنشینان،

مدل که در آنها تغییرشکل‌های اندک پدیدار می‌شود به صورت کلی و با المانهای صلب مدل شود. دیگر آنکه زمان انجام تحلیل کاهش یابد یعنی آنکه تحلیل سازه از لحظه قبل از برخورد با زمین آغاز شود. بدین منظور سرعت وسیله‌نقلیه قبل از برخورد نیاز است که امکان به دست آوردن آن از روی آزمون عملی و یا با تقریب خوبی توسط محاسبات وجود دارد [۵].

بلینگارדי، مارتلو و پرونی در نشستی در تورینو ایتالیا، به بررسی تأثیر صندلیها و نحوه اتصال سرنشینان در آسیهای واردۀ در هنگام آزمون واژگونی پرداختند. در هنگام واژگونی تنها بخشی از جرم سرنشینان به سازه کوپل (متصل) می‌شود که این مقدار به نحوه اتصال به صندلیها بستگی دارد. در جدول (۱) درصد جرم‌های کوپل شده بر اساس انواع اتصال، مشخص



شکل ۴- نمایش مقطع عرضی ویژگیهای فضای سرنشینان [۷]



شکل ۳- تعیین دو نقطه به عنوان معیاری برای اندازه‌گیری تغییرشکل‌های سازه [۶]

تعليق آن بلوکه شده و به آرامی (سرعتی کمتر از ۵ درجه بر ثانیه) به سمت نقطه ناپایداری حرکت می‌کند. آزمون واژگونی از نقطه ناپایداری وسیله‌نقلیه با سرعت زاویه‌ای تقریباً صفر شروع می‌شود و محور دوران از نقاط تماس تایر با زمین عبور می‌کند. وسیله‌نقلیه به داخل گودال کناری، که دارای سطحی از جنس بتن خشک و عمق اسمی ۸۰۰ میلی‌متر است، دوران و سقوط می‌کند. در لحظه ناپایداری، انرژی E_R بیانگر انرژی مرجع وسیله‌نقلیه بوده و مطابق با شکل (۵) و بر اساس معادله (۱) به دست می‌آید.

$$E_I = M.g.h_I = M.g.[0.8 + \sqrt{h_0^2 + (B \pm t)^2}] \quad (1)$$

که در آن،

M = جرم مؤثر وسیله‌نقلیه،

h_0 = ارتفاع مرکزثقل وسیله‌نقلیه

t = فاصله عمودی مرکز جرم اتوبوس، تا صفحه عمودی مرکزی طولی

B = فاصله عمودی میان صفحه عمودی مرکزی طولی، تا محور دوران

g = ضریب شتاب گرانش زمین

h_I = ارتفاع مرکزثقل وسیله‌نقلیه در آغاز موقعیت ناپایداری نسبت به صفحه افقی پایین گودال کناری.

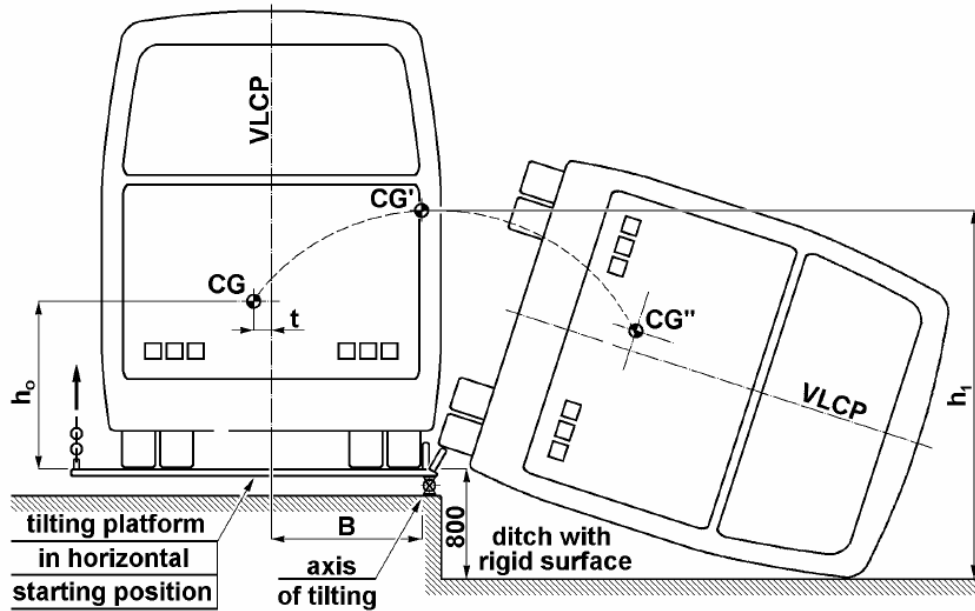
منجر به گذر از این آزمون در هنگام لحاظکردن اثر مسافرین، نمی‌شود [۶].

۲- استاندارد واژگونی ECE66

این آئین نامه درمورد وسایل‌نقلیه‌ای که برای حمل بیش از ۲۲ مسافر، علاوه‌بر راننده و خدمه، طراحی و ساخت شده‌اند به کار می‌رود، خواه مسافرین ایستاده و یا نشسته باشند. مطابق با این استاندارد، ابرسازه^۵ وسیله‌نقلیه باید از استحکام کافی برخوردار باشند تا تضمین کنند که فضای سرنشینان در حین و پس از انجام آزمون واژگونی روی وسیله‌نقلیه کامل، بدون آسیب باقی بماند. به عبارت دیگر، هیچ بخشی از وسیله‌نقلیه که در آغاز آزمون بیرون از فضای سرنشینان قرار دارد (مانند ستونها، قفسه‌ها، طاقچه‌های باری و ...) نباید در حین آزمون به داخل محفظه سرنشینان نفوذ کند. محفظه سرنشینان با ایجاد یک صفحه متقاطع عمودی در میان وسیله‌نقلیه، مطابق با شکل (۴)، و حرکت این صفحه در امتداد طول وسیله‌نقلیه ایجاد می‌شود [۷].

روش اصلی آئین نامه برای انجام آزمون واژگونی به شرح زیر است:

کل وسیله‌نقلیه روی یک صفحه دوار قرار دارد که سیستم



شکل ۵- ویژگیهای آزمون واژگونی روی کل اتوبوس [۷]

اتوبوسهای برون شهری است، اما با توجه به یکسان بودن سازه و بدنه اتوبوس O457 با اتوبوس برون شهری C457 همچنین به دلیل عدم دسترسی به نقشه ها و سایر اطلاعاتی از جمله جنس، وزن و موقعیت دقیق نصب هر کدام از اجزای اتوبوس برون شهری، شبیه سازی آزمون واژگونی بر روی اتوبوس O457 که مدارک آن در دست است انجام شده است. این تمام مشخصات و ویژگیهای قطعات مدل سازی شده در این مقاله نمی گنجد. لذا به منظور آشنایی کلی، برخی از ویژگیهای اتوبوس O457 در زیر ارائه می شود:

- طول : ۱۱۹۷۵ میلی متر
- ارتفاع از زمین : ۲۹۸۰ میلی متر
- عرض : ۲۵۰۰ میلی متر
- ارتفاع داخل کابین : ۱۹۰۲ تا ۱۹۷۲ میلی متر
- فاصله دو محور : ۶۰۵۵ میلی متر
- وزن خالص : ۹۸۲۰ کیلوگرم
- بار مجاز روی اکسل جلو : ۶۰۰ کیلوگرم
- بار مجاز روی اکسل عقب : ۱۱۵۰ کیلوگرم
- وزن ناخالص مجاز : ۱۸۰۰۰ کیلوگرم

به جای انجام آزمون واژگونی مطابق با روش اصلی آیین نامه (یعنی انجام آزمون واقعی روی کل وسیله نقلیه)، بنا به تشخیص تولید کننده، یکی از روش های معادل آزمون می تواند انتخاب شود: الف. انجام آزمون واژگونی روی مقاطعی از بدنه که نماینده کل وسیله نقلیه باشد. ب. بارگذاری های شبه استاتیکی روی قسمتهایی از بدنه. ج. شبیه سازی رایانه ای آزمون واژگونی.

۳- شبیه سازی آزمون واژگونی

قاعده کلی شبیه سازی آزمون واژگونی آن است که ابتدا یک آزمون عملی روی یک مقطع بدنه انجام شده و همان آزمون با نرم افزار شبیه سازی می شود. پس از دستیابی به فرضیات مناسب و نتایجی منطبق با آزمون عملی (به منظور بررسی صحت شبیه سازی انجام شده)، شبیه سازی روی کل سازه اتوبوس تعمیم می یابد. اما با توجه به محدودیتهای مالی موجود، و عدم امکان آزمون عملی، پس از انجام شبیه سازی روی سازه اتوبوس، نتایج به صورت کیفی با کارهای مشابه مقایسه شده است. نکته دیگر اینکه آزمون واژگونی مخصوص

۰/۳ منظور می‌شود. تقریباً تمام اتصالات موجود بین اعضاء و قسمتهای ساختار اصلی، از نوع جوشکاریهای سرتاسری است. با توجه به تعداد زیاد این اتصالات، شبیه‌سازی نرم‌افزاری آنها کاری بس طاقت‌فرسا و دشوار است. نکته قابل توجه این است که ماده به کار رفته در جوشکاری از استحکام بالاتری نسبت به ماده به کار رفته در سازه یعنی ST-52 برخوردار است، در نتیجه در هنگام تغییر‌شکل سازه، تغییر‌شکلهای ایجادشده در ماده جوش به مراتب کمتر از ماده ST-52 است. بر اساس تحقیقات انجام شده و تجربیات به دست آمده، و با توجه به تعداد بسیار زیاد این اتصالها، می‌توان با یک فرض کاملاً منطقی این اتصالات را به صورت پیوسته و از همان جنس سازه یعنی ST-52 در نظر گرفت. در سازه‌های بزرگ مانند ساختار اصلی اتوبوس مورد نظر، هدف اصلی بررسی وضعیت اتصالات و برهمکنشهای موجود در آنها نبوده، بلکه استخراج تغییر شکلهای ایجادشده در کل سازه دنبال می‌شود. به طور خلاصه افزایش داده شده است.

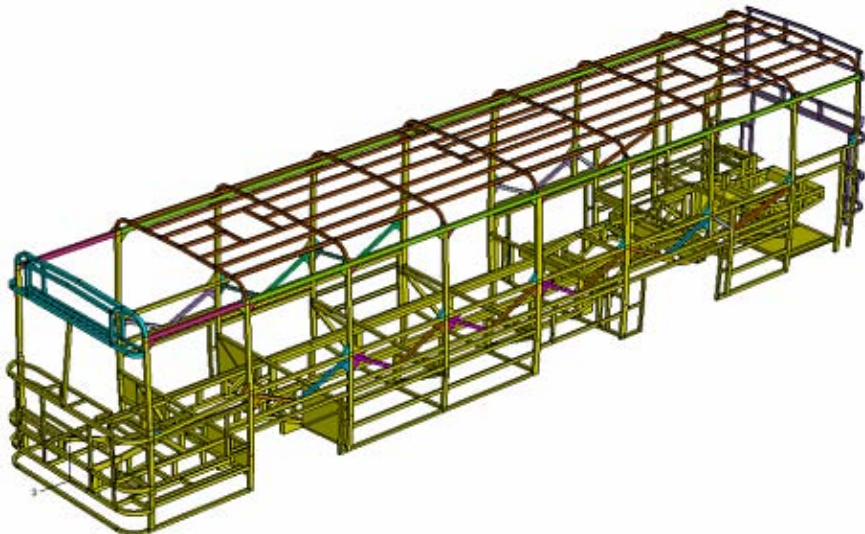
ضریب اصطکاک بین سطوحی از اتوبوس که با کف زمین گودال کناری برخورد دارند، باید بر اساس آزمایشات تجربی و عملی به دست بیاید [۷]، اما با توجه به تحقیقات انجام شده و کارهای مشابه مقدار آن برابر با $0/۳$ فرض می‌شود. لازم به ذکر است با کاهش این عدد، تغییر‌شکلهای در حین شبیه‌سازی آزمون واژگونی کاهش می‌یابد.

در شکل (۶) تصویری از مدل اجزای محدود روسازه (اجزای اصلی) اتوبوس مذکور در نرم‌افزار آباکوس نشان داده شده است. در تهیه این مدل المانهای پوسته S4R به کار رفته است که یک المان پوسته متداول چهارگرهای کاهش‌یافته بوده و در هر گره دارای شش درجه آزادی است. این المان برای مدل‌کردن تغییر‌شکلهای بزرگ و غیرخطی مناسب است. استفاده از این

می‌توان روند شبیه‌سازی را به سه بخش کلی تقسیم کرد: تهیه مدل مسئله، پیداکردن سرعت برخورد و نهایتاً شبیه‌سازی برخورد سازه با زمین. توضیح اینکه مدل تهیه شده در ضمن ساده‌سازی، باید دقیق و دارای مرکز جرمی منطبق با واقعیت باشد چون سرعت برخورد اتوبوس با زمین که نقش اصلی در تغییر‌شکلهای ایجادشده را دارد، براساس گشتاور زاویه‌ای و مرکز ثقل سازه مدل شده تعیین می‌شود.

در تهیه مدل المان محدود، فقط بخش‌هایی که جزو ساختار اصلی هستند (در استحکام سازه در هنگام آزمون رول اور نقش اصلی دارند)، مدل می‌شوند و از اثر استحکام‌بخشی سایر اجزا مانند صندلیها، اتصالات در و پنجره‌ها و ... صرف نظر می‌شود [۷]. هر چند تأثیر وزن و ممان اینرسی دورانی آنها لحاظ خواهد شد. به عبارت دیگر قسمتهایی مانند موتور، تایرهای گیربکس، اکسل جلو و عقب، مسافران و راننده، مخزن سوخت و محتویات آن، سیالهای موجود در رادیاتور، گیربکس و ... در مدل مسئله دیده نمی‌شوند، بلکه اثر آنها به صورت جرم‌های نقطه‌ای ثابت لحاظ می‌شود. پس از تهیه مدل هندسی به صورت Tie به گونه‌ای اعمال می‌شوند که جرم کل و همین طور مرکز ثقل مدل المان محدود ایجادشده منطبق بر واقعیت باشد. این نکته را نیز باید لحاظ کرد که نیروی ناشی از این جرمها باید در محل درست اعمال شود، به عبارت دیگر از ایجاد گشتاورها و تنشهای کاذب ناشی از اثر جرم‌های نقطه‌ای، تا حد ممکن دوری شده است.

شاسی و بدنه اتوبوس، به صورت اسکلت یکپارچه با پروفیلهای طولی و عرضی است. این پروفیل‌ها توخالی و چهارگوش و جنس آنها از فولاد ST-52 Mpa ۶۴۴ و استحکام نهایی ۵۰۰ Mpa می‌باشد. چگالی فولاد ST-52 برابر با 7850 Kg/m^3 بوده و مقدار مدول یانگ هم از شیب ناحیه الاستیک نمودار تنش-کرنش به دست می‌آید که برابر است با 207 GPa . مقدار ضریب پواسون هم که تقریباً برای تمام فولادها یکسان است، برابر با



شکل ۶- مدل اجزای محدود اجزای اصلی اتوبوس

تحلیلی و نرمافزاری به دست آمده و با هم مقایسه شده‌اند. در روش تحلیلی با فرض ثابت بودن محور دوران در حین آزمون واژگونی، همچنانکه در معادله (۲) مشاهده می‌شود، داریم:

$$M.g.(h_1 - h_2) = \frac{1}{2} I.\omega^2 \quad (2)$$

که در آن،

M = جرم مؤثر وسیله‌نقلیه

g = ضریب شتاب گرانش زمین

h_1 = ارتفاع مرکز تقلیل وسیله‌نقلیه در موقعیت ناپایداری نسبت به صفحه افقی پایین گودال کناری، بر حسب متر

h_2 = ارتفاع مرکز تقلیل وسیله‌نقلیه در لحظه قبل از برخورد با زمین، نسبت به صفحه افقی پایین گودال کناری، بر حسب متر

I = مومتم زاویه‌ای اتوبوس نسبت به محور دوران (در محل تماس تایرها با زمین)، بر حسب Kg.m^2

ω = سرعت زاویه‌ای بر حسب رادیان بر ثانیه.

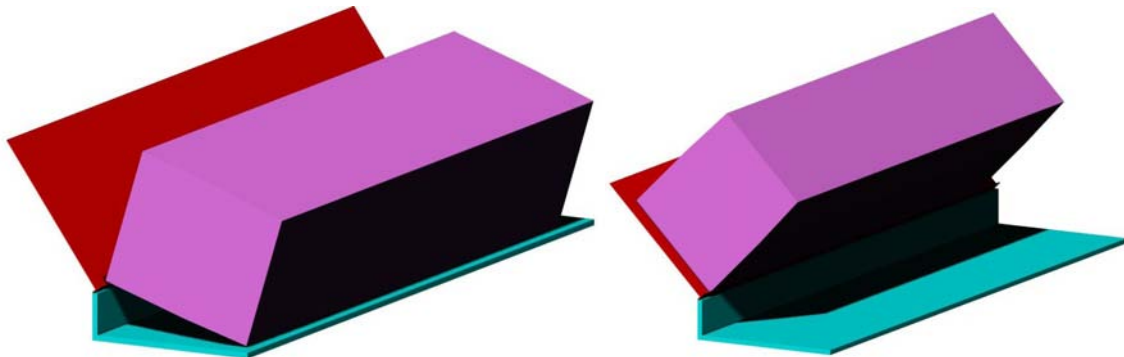
با جایگذاری مقادیر عددی در معادله (۲)، مقدار ω در لحظه برخورد اتوبوس با زمین، برابر با $124/9$ درجه بر ثانیه بدست

می‌آید. برای اطمینان از صحت جواب به دست آمده، مسئله بار دیگر به کمک نرمافزار ویژوال نسترن شبیه‌سازی شده و سرعت برخورد اتوبوس با زمین استخراج می‌شود. مطابق با شرایط

نوع المان، اولاً زمان حل مسئله را نسبت به المانهای سه‌بعدی آجری ۷ بسیار کمتر می‌سازد، ثانیاً مقاطع مورد تحلیل دارای ضخامت بسیار اندک در مقایسه با دو بعد دیگر بوده و در مواردی که یک بعد از بقیه ابعاد کوچکتر است می‌توان از المان پوسته استفاده کرد. نکته مهم در هنگام کاربرد این المان، بررسی انرژی به کار رفته در کترول پدیده ساعت‌شنبه ۸ است. به صورت یک قانون کلی، می‌توان چنین گفت که حالت ایدئال آن است که میزان انرژی صرف شده برای کترول پدیده ساعت‌شنبه، کمتر از پنج درصد انرژی داخلی کل باشد [۸].

دو روش برای انتگرال‌گیری در فرمولبندی المانهای پوسته وجود دارد، سیمپسون و گوس. روش گوس با سه نقطه انتگرال‌گیری در ضخامت المان پوسته، دقیق تقریباً مساوی با روش سیمپسون با پنج نقطه انتگرال‌گیری دارد. با انتخاب روش گوس با سه نقطه انتگرال‌گیری، علی‌رغم سرعت بالاتر، جوابها با کمتر از چند درصد تفاوت، به دست می‌آید، لذا کلیه قسمتها با روش گوس و با سه نقطه انتگرال‌گیری تحلیل می‌شود.

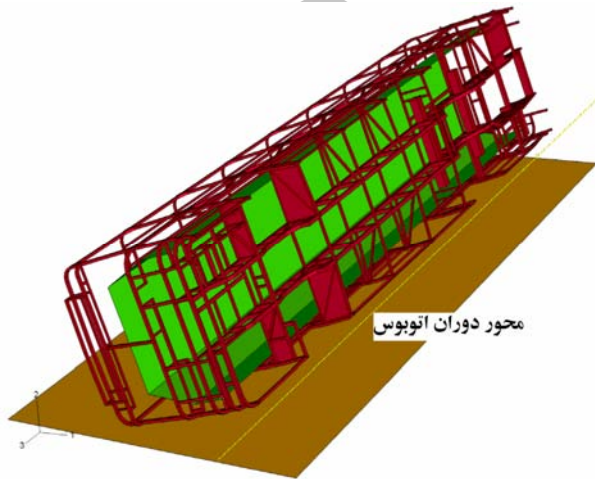
پس از تهیه مدل مسئله و استخراج مومتم زاویه‌ای حول محور دوران (محل تماس تایرها با زمین)، سرعت برخورد اتوبوس در لحظه برخورد با کف گودال کناری به دو روش



شکل ۷- استخراج سرعت برخورد با زمین توسط نرم افزار

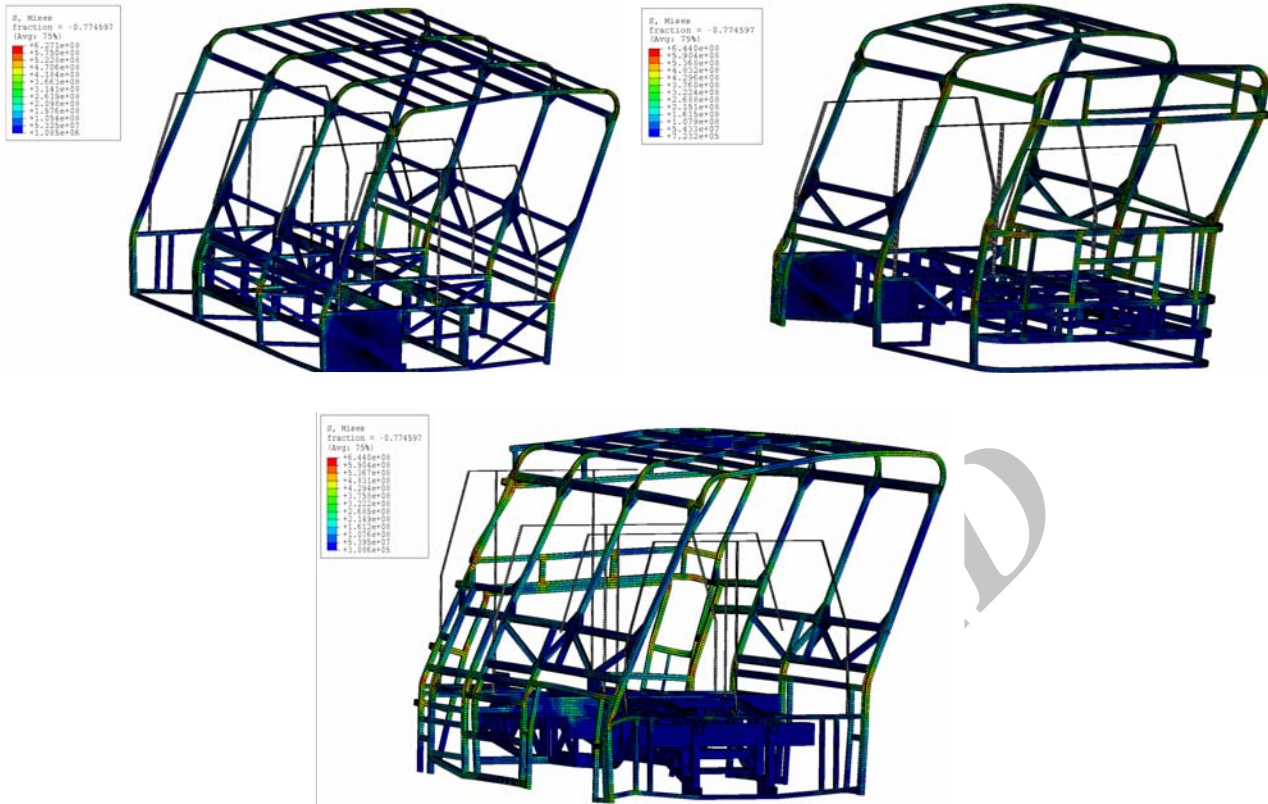
برخورد با زمین، سازه صلب فرض شده که با این فرض مرکز ثقل و ممان ایرسی دورانی حول مرکز ثقل ثابت بوده، اما برخلاف روش تحلیلی بدیهی است که محور دوران در حین واژگونی ثابت نیست. سرعت دوران به دست آمده از این روش ۱۲۱ درجه بر ثانیه است که تفاوت چندانی با نتیجه به دست آمده از روش تحلیلی ندارد. اختلاف ناچیز میان نتایج، علاوه بر صحت نتایج، حاکی از منطقی بودن فرض استفاده شده در روش تحلیلی، مبنی بر ثابت بودن محور دوران در حین واژگونی است. لذا در فرایند شبیه سازی برخورد سازه با زمین، به منظور ساده سازی در اعمال سرعت اولیه اتوبوس در لحظه برخورد با زمین، از فرض ثابت بودن محور دوران در حین واژگونی و سرعت برخورد ۱۲۴/۹ درجه بر ثانیه استفاده شده و از خطای نسی ۳/۲ درصدی، صرف نظر شده است. با داشتن سرعت دورانی، برخورد سازه مدل شده با زمین توسط نرم افزار آباکوس صریح^۹ انجام شده است. سازه مورد نظر به همراه فضای سرنوشتیان در شکل (۸) مشاهده می شود.

برای شبکه بندی سازه نشان داده شده، از المانهای مربعی با اندازه ۲۰ میلی متر استفاده شده است، یعنی در پهنهای یک ستون حداقل دو المان وجود دارد (لازم به ذکر است هنگام کاربرد المانهای ریزتر، کمتر از ۵ درصد تغییر در نتایج مشاهده شد). با این ابعاد، در کل ساختار بیش از نیم میلیون المان تشکیل می شود. از آنجا که چنین تحلیلی با رایانه های معمولی ناممکن است، سازه به سه مقطع بدنه جلویی، وسطی و عقبی تقسیم شده و شبیه سازی برخورد روی هر قسمت



شکل ۸- نمایش اتوبوس و فضای سرنوشتیان در لحظه
برخورد با زمین

آینه نامه همچنانکه در شکل (۵) مشاهده شد، یک مدل صلب در نرم افزار ویژوال نسٹرن به گونه ای تهیه شده که مرکز ثقل و ممان ایرسی دورانی آن منطبق با واقعیت باشد. مدل تهیه شده بر روی یک صفحه دوار که با سرعت ۵ درجه بر ثانیه دوران کرده و مشخصات هندسی آن از جمله ارتفاع، پهنا و شعاع انحنای سر پله گیردار، کاملا مشخص است [۷]، قرار می گیرد. با دوران صفحه و رسیدن به نقطه تعادل ناپایدار، همچنانکه در تصویر سمت راست شکل (۷) مشاهده می شود، اتوبوس تحت اثر نیروی گرانش و سرعت اولیه از صفحه دوار جدا شده و شروع به واژگونی می کند. در تصویر سمت چپ شکل (۷) نیز لحظه برخورد اتوبوس با زمین مشاهده می شود. لازم به ذکر است به دلیل کوچک بودن تغییر شکل های ایجاد شده تا قبل از



شکل ۹- شکل تغییرشکل یافته سه مقطع-بدنه جلویی، میانی و عقبی

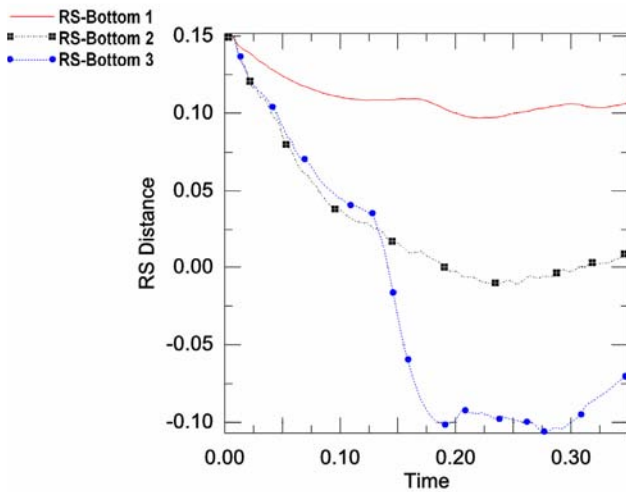
تصویر (۹) مشاهده می‌شود. چنانچه در این شکل دیده می‌شود، فضای سرنشینان که تنها معیاری برای اندازه‌گیری تغییرشکلهای ایجادشده در ستونهاست، فقط در مقابل ستونها مدل شده است، این کار به دلیل کاهش تعداد المانها و افزایش سرعت تحلیل است.

تغییرشکل هر یک از ستونها، در هر مقطع-بدنه به صورت مجزا و در دو نقطه بالایی و پایینی در طول آزمون واژگونی استخراج شده و در شکلهای (۱۰) تا (۱۵) آورده شده است. از تصاویر و نمودارها مشخص است که در هنگام برخورد با سطح زمین، با گذر زمان تغییرشکل ستونها و نفوذ آنها به داخل فضای سرنشینان بیشتر می‌شود. اما پس از چندی، به علت برگشت‌پذیری تغییرشکلهای الاستیک ایجادشده، مقدار نفوذ به داخل فضای سرنشینان کمتر می‌شود. این پدیده (حداکثر تغییرشکل) بسته به تفاوت‌های موجود در مدل هندسی و جرم‌های متصل شده، در هر یک از ستونها، در زمانهای متفاوتی

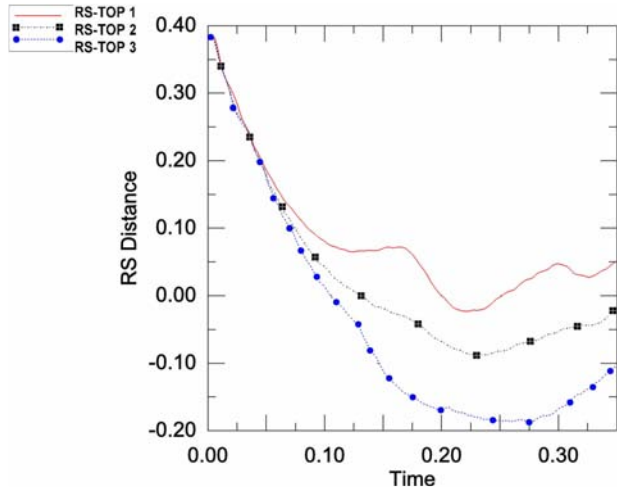
به طور جداگانه انجام می‌گیرد. به عبارت دیگر، به استناد آیین‌نامه روش آزمون واژگونی روی مقطع-بدنه اتخاذ می‌شود. شکل هندسی و پیچیدگیهای بخش‌های مختلف سازه و همچنین محدودیت در تعداد المانها در اینکه سازه به چند بخش تقسیم گردد دخالت دارد.

با توجه به آن که مجموع جرم مقطع-بدنهای مورد تحلیل، از جرم کل سازه بزرگتر است [۷] و همچنین استحکام هر یک از بخشها به طور منفصل بررسی می‌شود، بدینه است که تحلیل روی مقطع-بدنه، بررسی و طراحی مجدد را به سوی امنیت و ضربی اینمی بالاتری سوق می‌دهد. به عبارت دیگر آزمون واژگونی روی مقطع-بدنه، روش محافظه‌کارانه تأیید آزمون واژگونی است، بنابراین در صورتی که سازنده این روش را برگزیند، سطح اینمی تأیید آزمون، مساوی یا بیشتر از هنگام انجام آزمون به شیوه اصلی آیین‌نامه خواهد بود [۹].

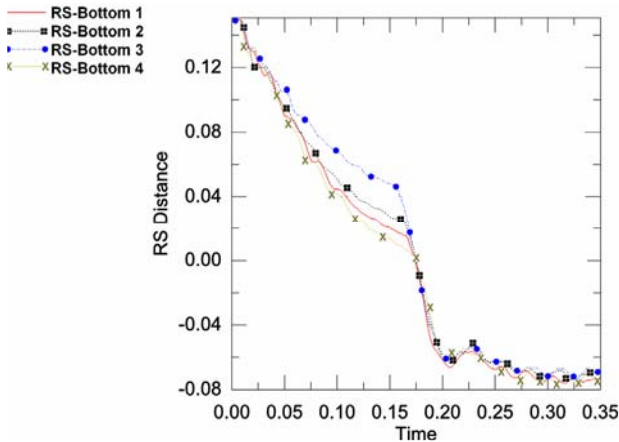
فرم تغییرشکل یافته سه مقطع-بدنه جلویی، میانی و عقبی در



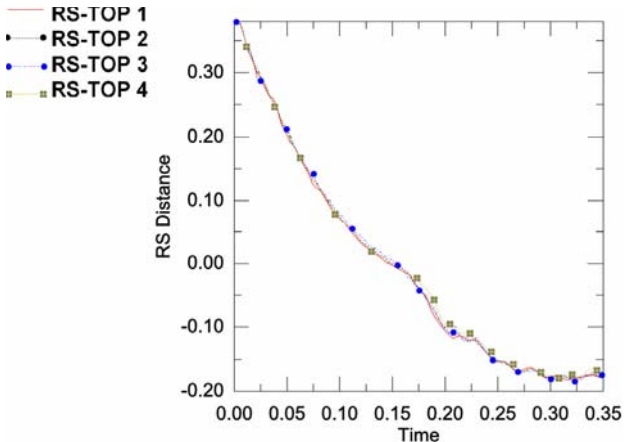
شکل ۱۱- فاصله RS BOTTOM بر حسب زمان برای ستونهای مقطع-بدنه جلویی



شکل ۱۰- فاصله RS TOP بر حسب زمان برای ستونهای مقطع-بدنه جلویی



شکل ۱۳- فاصله RS Bottom بر حسب زمان برای ستونهای مقطع-بدنه وسطی

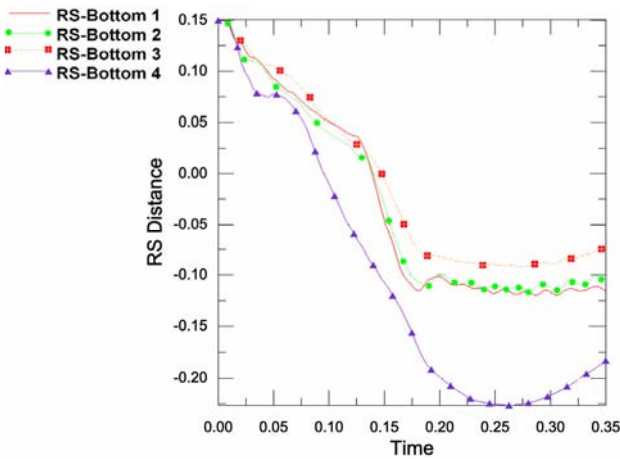


شکل ۱۲- فاصله RS TOP بر حسب زمان برای ستونهای مقطع-بدنه وسطی

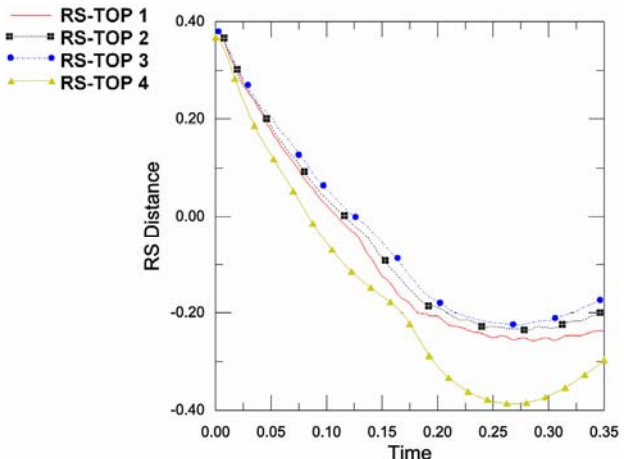
۴- بحث و بررسی نتایج

از شکلهای (۱۰) و (۱۱) مشخص است که در مقطع-بدنه جلویی، به خاطر اثر استحکام‌بخشی ساختار جلوی اتوبوس، ستون یک کمترین و بدلیل اثر وزن اکسل جلویی، ستون سوم بیشترین تغییرشکل را دارد. ساختار مقطع-بدنه میانی تقریباً در تمام قسمتها یکنواخت بوده و تغییرشکل ستونها در این بخش، همچنان که در تصاویر (۱۲) و (۱۳) ملاحظه می‌شود، یکسان است. اما مطابق با شکلهای (۱۴) و (۱۵) بیشترین تغییرشکلها در ساختار عقبی و به علت استقرار عمده جرم‌های سنگین در

روی می‌دهد. همچنین در برخی ستونها، حداقل نفوذ به داخل فضای سرنوشتینان بهوضوح قابل رویت بوده و در برخی دیگر، بازگشت تغییرشکلهای الاستیک محسوس نیست. لازم به ذکر است که نفوذ سطح داخلی ستونها به سطح بیرونی فضای سرنوشتینان، هنگامی است که فواصل مربوط به RS BOTTOM و RS TOP مقادیر منفی داشته باشند، یعنی در نمودارهای ۱۰ تا ۱۵، گذر منحنی به زیر خط صفر، نشانگر فاصله منفی یا نفوذ به داخل فضای سرنوشتینان می‌باشد.



شکل ۱۵- فاصله RS BOTTOM بر حسب زمان برای ستونهای مقطع-بدنه عقبی

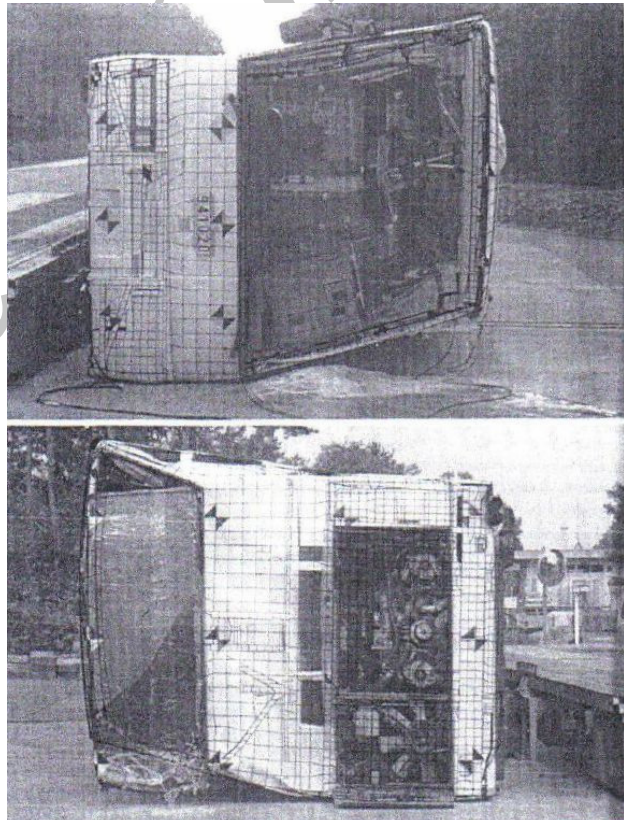


شکل ۱۶- فاصله RS TOP بر حسب زمان برای ستونهای مقطع-بدنه عقبی

در این قسمت فضای سرنشینان به علت موقعیت مسافرین در عقب اتوبوس، نسبت به بقیه جاهای مرتفعتر (بزرگتر) است.

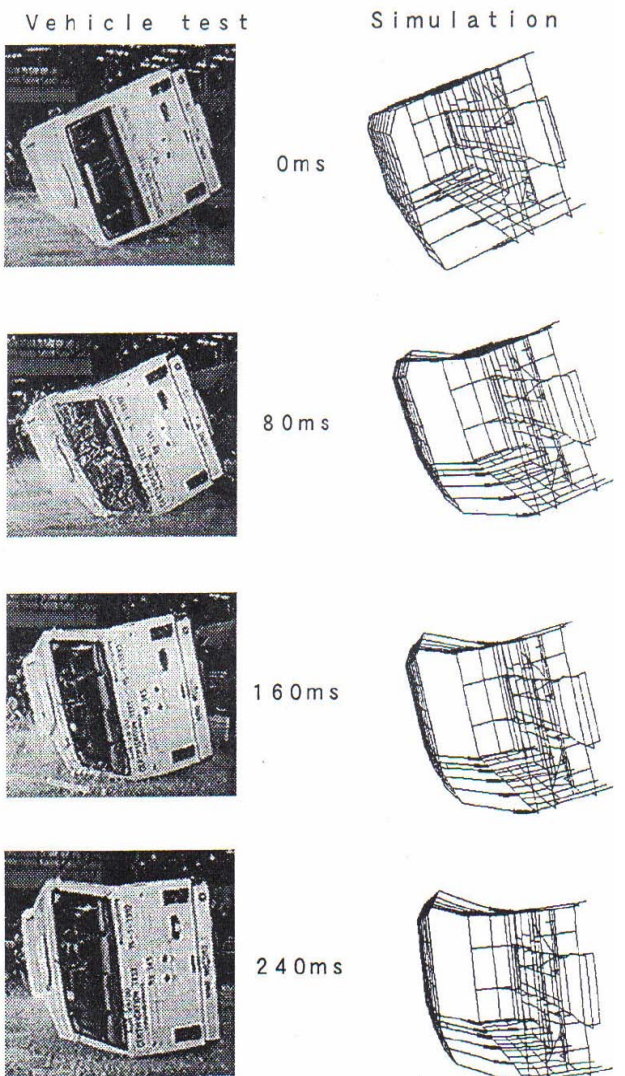
در شکل (۱۶) تصویری از شکل تغییرشکل یافته یک اتوبوس در پایان آزمون واژگونی، آورده شده است. در نتایج به دست آمده تغییرشکل در سمتی که با زمین برخورد کرده، فقط به میزان اندکی بیش از سمت مخالف بوده است. همچنین عمده تغییرشکلها در ستونها و اتصال آنها با ساختار سقف و کف اتوبوس مشاهده شده است. نتایج حاصل از آزمون عملی واژگونی نشان می‌دهد که تغییرشکلها در جلوی اتوبوس عمدها در اتصالات ستون به سازه کف و سقف روی داده و تغییرشکلها در سقف اتوبوس کم است. نمای پایینی یانگر آن است که موتور، متعلقات آن و سیستم تعليق از تغییرشکلهای عمده به دور بوده و محزن سوخت پس از آزمون هیچ‌گونه نشت نداشته و آسیبی به سیمه‌ها و اتصالات برقی هم نرسیده است [۵].

در شکل (۹) که شکل تغییرشکل یافته مقاطع مورد تحلیل نشان داده شد نیز ویژگیهای فوق به چشم می‌آید، یعنی عمده تغییرشکلها در ستونها و محل اتصال آنها با کف یا سقف پدیدار شده و تغییرشکلها در سقف و شاسی کمتر است.



شکل ۱۶- نمای جلو و پشت از شکل تغییرشکل یافته یک اتوبوس در پایان آزمون [۵]

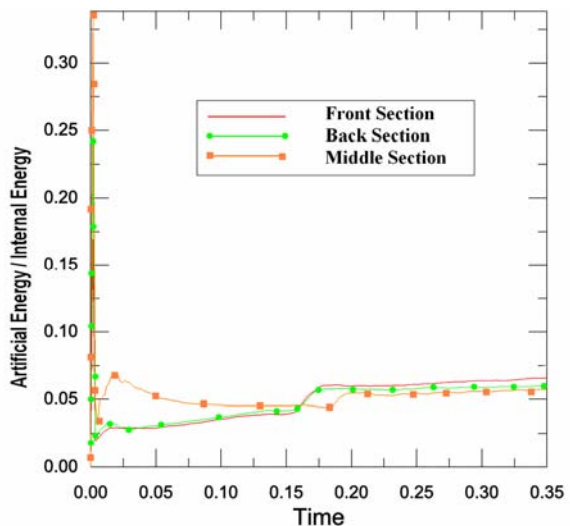
این مقطع مشاهده می‌شود. در این مقطع بیشترین مقدار تداخل به فضای سرنشینان در ستون آخر رخ می‌دهد چرا که



شکل ۱۸- تطابق نتایج شبیه‌سازی رایانه‌ای با نتایج عملی [۱۰]

۵- اصلاح سازه اتوبوس به منظور ارضای شرایط آزمایش واژگونی

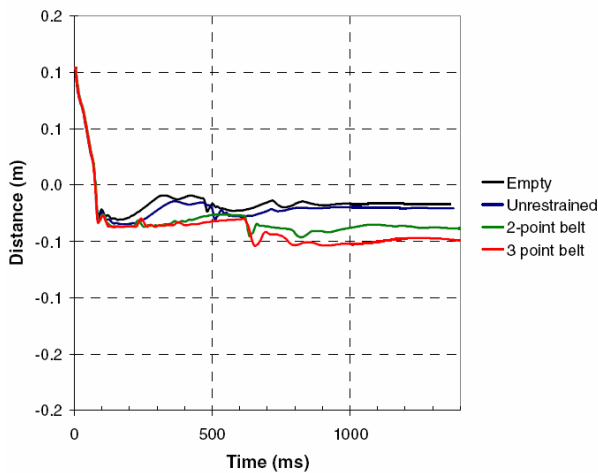
با توجه به عدم وجود نظریه‌ها و فرمولهای لازم برای محاسبه تغییرشکل‌های الاستیک و پلاستیک در سازه‌های پیچیده، تحت بارگذاریهای ضربه‌ای، به کمک نرم‌افزارهای المان محدود و با سعی و خطا می‌توان به اصلاح طرحهای موجود پرداخت. برای کاهش تغییرشکل ستونها و افزایش استحکام قسمتهای تحلیل شده در آزمون واژگونی، پیشنهاداتی براساس تجربیات مهندسان خط تولید اتوبوس و همچنین امکانات اجرایی و مالی موجود



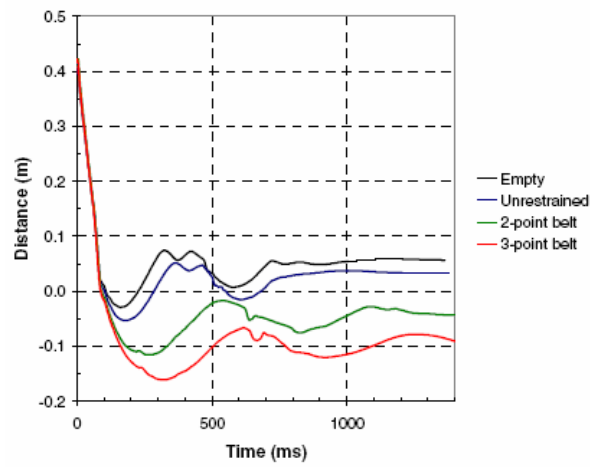
شکل ۱۷- نسبت انرژی مصنوعی به انرژی داخلی بر حسب زمان

در شکل (۱۷) نسبت انرژی مصنوعی (انرژی تلف شده برای کنترل پدیده ساعت‌شنبه) به انرژی داخلی بر حسب زمان برای تحلیلهای انجام شده نشان داده شده است. این نسبت باید کمتر از ۵ درصد باشد [۸] که در شکل (۱۷) این مقدار به $6/5$ درصد هم می‌رسد. علت این امر درشت‌بودن اندازه المانهاست، یعنی با کاهش اندازه المانها می‌توان درصد انرژی مصنوعی را هم کاهش داد. نکته دیگر اینکه مقادیر زیاد و پرشهای اولیه موجود در نمودار ناشی از خطاهای عددی بوده و قادر چشمپوشی است [۸].

به منظور مقایسه کیفی جوابهای به‌دست آمده، در ادامه نمونه‌هایی از نتایج مربوط به آزمون واژگونی ارائه می‌شود. در شکل (۱۸) نتایج مربوط به شبیه‌سازی آزمون واژگونی و مقایسه آن با آزمون عملی، برای یک نمونه اتوبوس آوردہ شده است [۱۰]. آنچه در تصویر دیده می‌شود، حاکی از انطباق کامل مدل با نمونه واقعی است. در شکل‌های (۱۹) و (۲۰) نیز فوائل مربوط به RS TOP و RS BOTTOM برای آزمون انجام شده روی یک مقطع-بدنه مشاهده می‌شود [۶]، که با آنچه در نمودارهای (۱۰) تا (۱۵) مشاهده شد، مطابقت خوبی دارد.



شکل ۲۰- فاصله میان ستونها با نقطه پایینی در حین آزمون [۶]

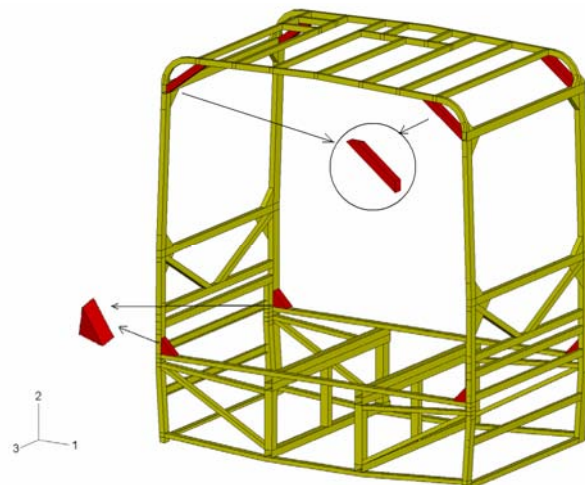


شکل ۱۹- فاصله میان ستونها با نقطه بالایی در حین آزمون

اتصال ستونها به سقف و شاسی، مطابق با شکل (۲۱) است. با انجام این تحلیل مشاهده شد که این روش مانع از نفوذ ستونها به داخل فضای سرنشینان نمی‌شود. لازم به ذکر است که استفاده از ریبهای بزرگتر، به دلیل تأثیر گذاری کم و ایجاد محدودیتهایی در کابین مسافرین توصیه نمی‌شود.

دیگر پیشنهاد به منظور افزایش استحکام بدن اتوبوس، استفاده از ستونهایی با ضخامت بیشتر است. توضیح آنکه در ساخت ستونهای فعلی اتوبوس از پروفیلهایی با ضخامت دو میلی‌متر استفاده شده است. با وجود آنکه این روش مؤثر به نظر می‌رسد، اما محاسبات نشان داده که برای قسمتهایی که تغییرشکل آنها زیادتر است، پروفیلهایی با ضخامت سه میلی‌متر هم جوابگو نیست، از طرفی به دلیل نیاز به خمکاری در پروسه تولید ستونها، ضخامتهای بالاتر مشکلاتی را در روند تولید به وجود می‌آورد. با این توضیحات این روش نمی‌تواند چندان قابل قبول باشد.

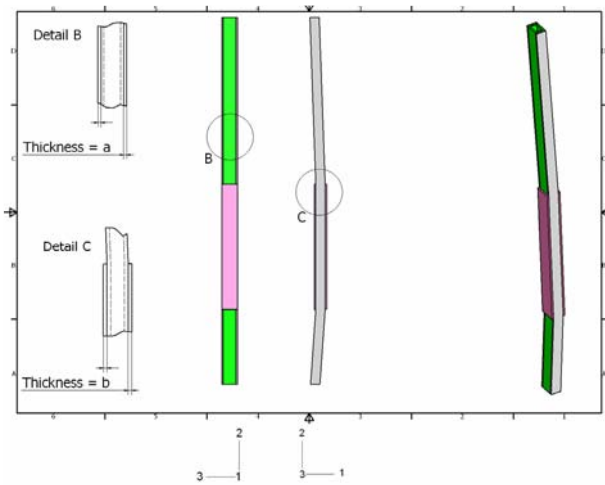
یک راهکار مؤثر برای افزایش استحکام سازه مورد تحلیل استفاده از ستونهای دوگانه مطابق با شکل (۲۲) است. نتایج تحلیل آزمون واژگونی روی مقطع-بدنه نشان داده شده در شکل (۲۲) حاکی از آن است که تغییرشکل ستونها بسیار کمتر شده و دیگر نفوذ به داخل فضای سرنشینان وجود ندارد. البته استفاده از این روش برای بهینه‌سازی بدن اتوبوس، مستلزم



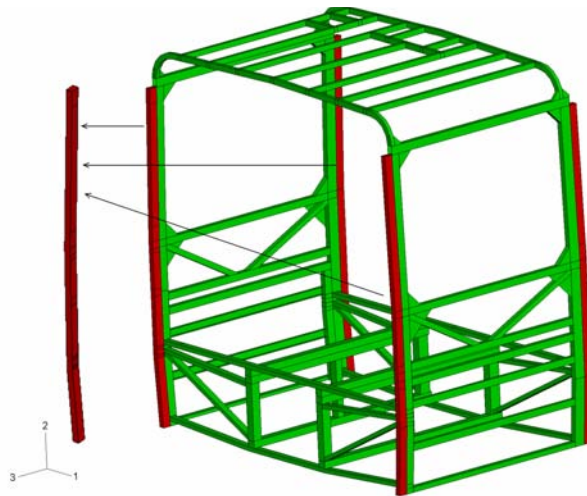
شکل ۲۱- تقویت ستونها در محل اتصال با سقف و شاسی

در کارگاههای تولیدی ارائه و بررسی شده است. یک راهکار قابل قبول شامل طرحها و فرضیاتی است که به اندازه کافی در افزایش استحکام و کاهش تغییرشکلها مؤثر بوده و ساخت آنها بر اساس امکانات فعلی موجود در کارگاههای تولید در داخل کشور امکانپذیر باشد، و از طرف دیگر مشکلی در عملکرد ساختار فعلی اتوبوس ایجاد نکند. همچنین حداقل تغییر ممکن را در سازه فعلی ایجاد کند. به منظور تسريع در روند شبیه‌سازی، ابتدا تأثیر راهکارهای پیشنهادی روی یک مقطع-بدنه کوچکتر بررسی شده است.

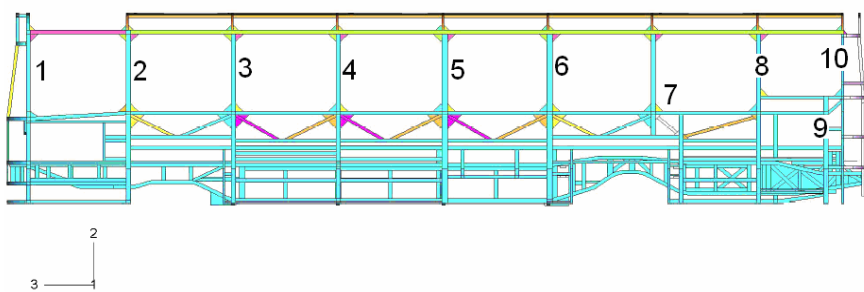
یک پیشنهاد استفاده از صفحات و ریبهای کمکی در محل



شکل ۲۳- نمایش یک ستون تقویت شده که صفحات کمکی به آن جوش خودردهاند



شکل ۲۲- کاربرد ستونهای دوگانه برای افزایش استحکام سازه



شکل ۲۴- شماره گذاری زوج ستونهای اتوبوس از جلو به عقب

ستونها به حد کافی افزایش یابد. در هر حال شرط استفاده از این راهکار این است که به همان اندازه که ضخامت ستونها زیاد می شود، طول لینکهای اتصالی بین ستونهای مجاور و همچنین اعضایی که شاسی را به ستونها وصل می کنند، به اندازه کافی کوتاهتر شوند. البته این تغییر ابعاد در حدود چند میلی متر بیشتر نیست.

در شکل (۲۴) نمایی از بدنه اتوبوس، که در آن ستونها از جلو به عقب شماره گذاری شده‌اند مشاهده می شود. لازم به ذکر است که ستونها در سمت چپ و راست اتوبوس (قبل اگفته شد که چپ و راست نسبت به موقعیت راننده تعیین می شود) یکسان‌اند و هر گونه تغییر روی هر یک از زوج ستونهای متقابل اول تا دهم، یکنواخت است. با این توضیحات

تغییر طول لینکهای اتصالی و ابعاد پنجره‌های است. با در نظر گرفتن شرایط فعلی موجود در گارگاه ساخت بدنه اتوبوس در شرکت ایران خودرو دیزل، این امر امکان‌پذیر و بینیاز از هزینه‌های اضافی جهت تغییرات اساسی در مراحل ساخت است.

روش دیگری که به منظور استحکام‌بخشی بیشتر قبل از بخش‌هایی از شاسی، با موفقیت به کار رفته است، جوش دادن صفحات کمکی به منظور تقویت ستونهای است. این روش از نظر استحکام‌بخشی تقریباً معادل روش قبلی یعنی به کار بردن ستونهای ضخیمتر است، با این تفاوت که در این روش مشکلات مربوط به خمکاری پروفیلهای ضخیم وجود ندارد. با توجه به شکل (۲۳) می‌توان ورقهایی با ضخامت مورد نیاز را در محل اتصال ستونها با سقف و شاسی، جوش داد تا استحکام



شکل ۲۵- شکل تغییرشکل یافته سه مقطع-بدنه پس از بهینه‌سازی

ستون مشابه است. مطابق با شکل (۲۳) مقدار a و b برابر با ۲ میلی‌متر است.

ث. ستونهای ششم تا دهم: این ستونها به دلیل اینکه عمدۀ وزن اتوبوس را تحمل می‌کنند و در حین آزمون واژگونی تغییر شکلهای بیشتری نشان می‌دهند، نیاز به صفحات تقویتی ضخیمتر دارند. بدون منظور با توجه به شکل (۲۳) مقدار a و b برابر با ۴ میلی‌متر برای ضخامت صفحات تقویتی به کار رفته در این ستونها استفاده می‌شود.

با اعمال این تغییرات، حداکثر تغییرشکل در سه مقطع-بدنه جلویی، وسطی و عقبی کاهش یافته و در حین آزمون واژگونی، دیگر تداخلی میان ستونها و فضای سرنشینان وجود ندارد. در تصویر (۲۵) شکل تغییرشکل یافته سه مقطع-بدنه جلویی، میانی و عقبی پس از بهینه‌سازی مشاهده می‌شود. میزان تغییر شکل

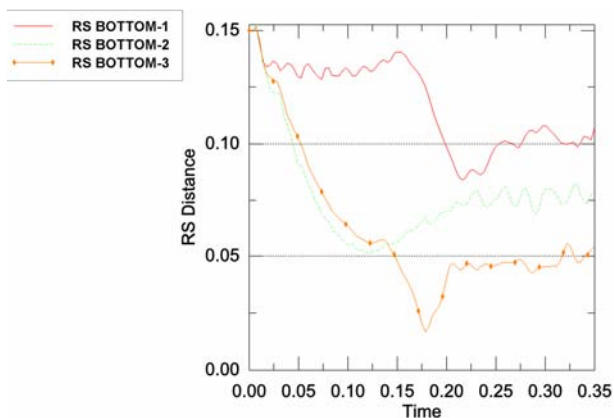
تغییرات اعمال شده روی هر یک از زوج ستونهای اول تا دهم بدین شرح است:

الف. ستون اول: هیچ‌گونه تغییری در زوج ستون شماره یک نیاز نیست، چرا که علاوه بر اتصالات و لینکهای موجود در قسمت جلوی اتوبوس که خود جنبه استحکام‌بخشی فراوان دارد، بهینه‌سازی ستون دوم، افزایش استحکام و کاهش تغییرات ستون یکم را به دنبال دارد.

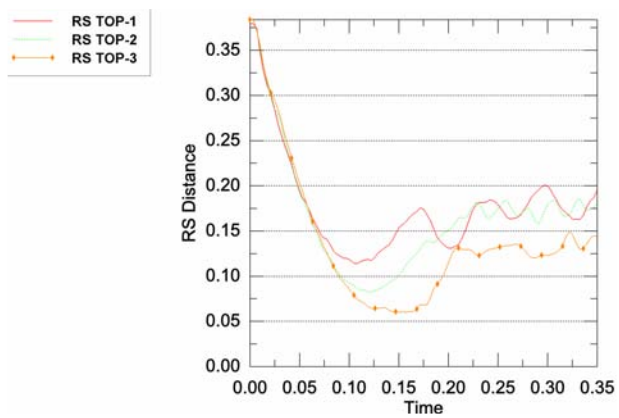
ب. ستون دوم: با توجه به شکل (۲۳)، مقدار a برابر با ۲ میلی‌متر بوده و از صفحات با ضخامت b استفاده نشده است.

پ. ستون سوم: در اینجا از ستون دوگانه به همراه صفحات تقویتی استفاده شده است. در اینجا از سه صفحه تقویتی با ضخامت a استفاده شده است. مقدار a و b برابر با ۲ میلی‌متر است.

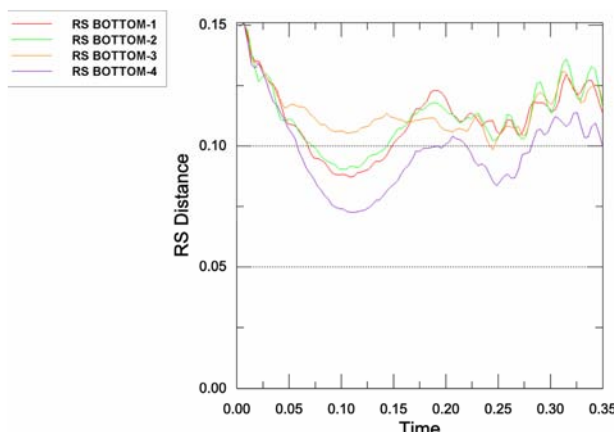
ت. ستونهای چهارم و پنجم: تغییرات اعمال شده روی این دو



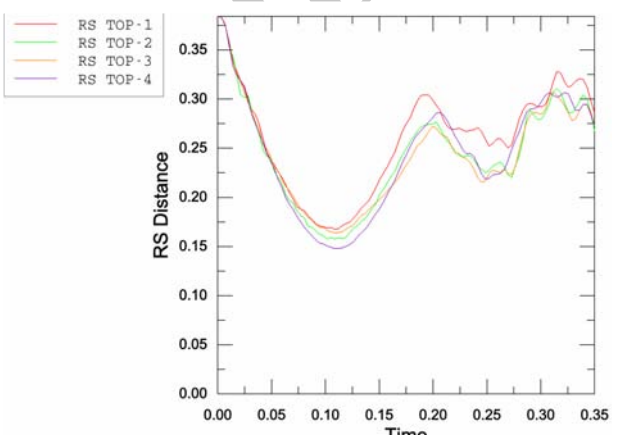
شکل ۲۷- نمودار فاصله RS BOTTOM بر حسب زمان برای ستونهای مقطع-بدنه جلویی بهینه شده



شکل ۲۶- نمودار فاصله RS TOP بر حسب زمان برای ستونهای مقطع-بدنه جلویی بهینه شده



شکل ۲۹- نمودار فاصله RS BOTTOM بر حسب زمان برای ستونهای مقطع-بدنه وسطی بهینه شده

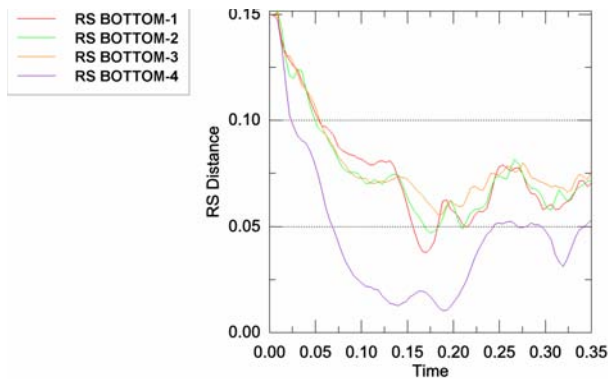


شکل ۲۸- نمودار فاصله RS TOP بر حسب زمان برای ستونهای مقطع-بدنه وسطی بهینه شده

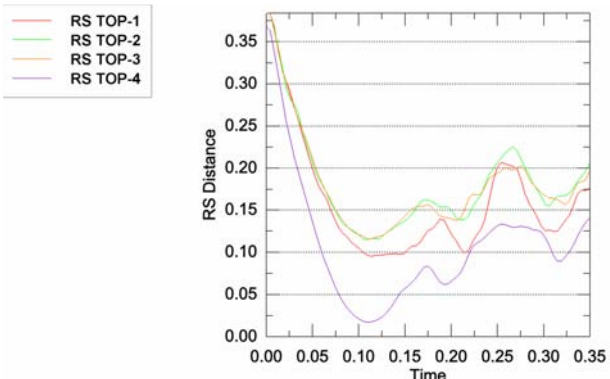
شبیه‌سازیهای انجام شده، یک بار دیگر هر یک از تحلیلهای با شبکه‌بندی ریزتر انجام می‌گیرد. منظور از شبکه‌بندی ریزتر دو برابر کردن تعداد المانها در نقاطی است که دارای تغییرشکلهای بزرگ هستند، مانند ستونهای و محل اتصال آنها با سقف و شاسی. لذا در حین مدل‌سازی تا آنجا که امکان دارد قسمتهایی مانند سقف و شاسی که تغییرشکلهای کمتری در حین رول اور دارند، با المانهای بزرگ‌تر شبکه‌بندی می‌شوند تا زمان تحلیل مسئله کمتر بشود. نهایتاً مقطع-بدنه جلویی با ۲۵۵۰۰۰ المان، مقطع-بدنه میانی با حدود ۲۸۰۰۰۰ المان و مقطع-بدنه عقبی با ۲۵۰۰۰۰ المان تحلیل می‌شود. از نظر شکل ظاهری، در پایان

ستونها در هر یک از مقطع‌بدنه‌ها به‌طور جداگانه در دو نقطه بالایی و پایینی فضای سرنشینان، در شکلهای (۲۶) تا (۳۱) ارائه می‌شود که از روی آنها مقدار دقیق تغییر شکل هر یک از ستونها در حین آزمون واژگونی مشخص می‌شود. رسیدن مقدار RS-Distance به صفر یا عددی منفی، گویای تداخل سطح داخلی ستونها با محدوده ایمن سرنشینان می‌باشد که از این تصاویر و نمودارها مشخص است که مقطع-بدنه‌های بهینه شده، هیچ تداخلی با فضای سرنشینان نداشته و شرایط آیین‌نامه آزمون رول اور را با موقیت پشت‌سر می‌گذارند.

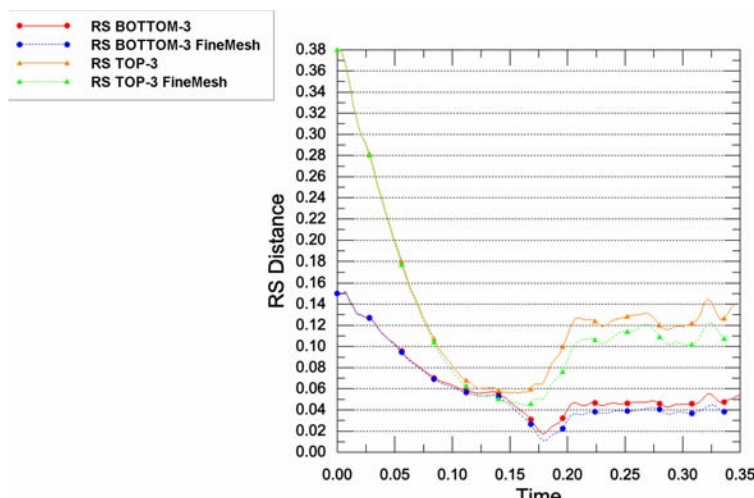
پس از بهینه‌سازی نهایی، به‌منظور بررسی صحت



شکل ۳۱- نمودار فاصله RS BOTTOM بر حسب زمان برای ستونهای مقطع-بدنه عقبی بهینه شده



شکل ۳۰- نمودار فاصله RS TOP بر حسب زمان برای ستونهای مقطع-بدنه عقبی بهینه شده

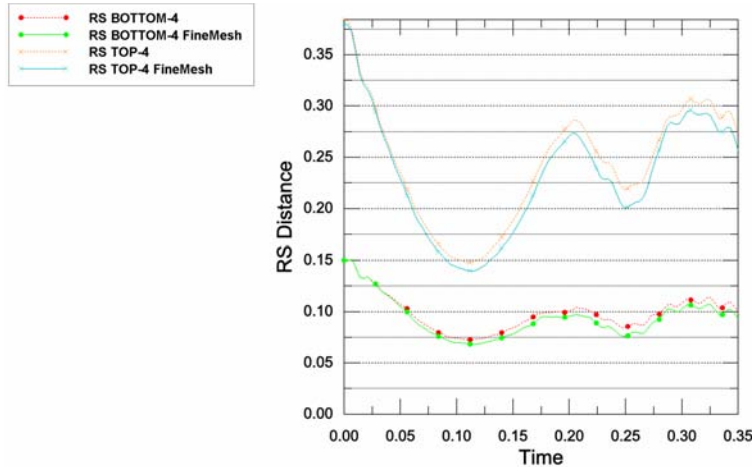


شکل ۳۲- مقایسه فواصل RS Distance برای ستون سوم از مقطع-بدنه جلویی، در دو حالت شبکه‌بندی

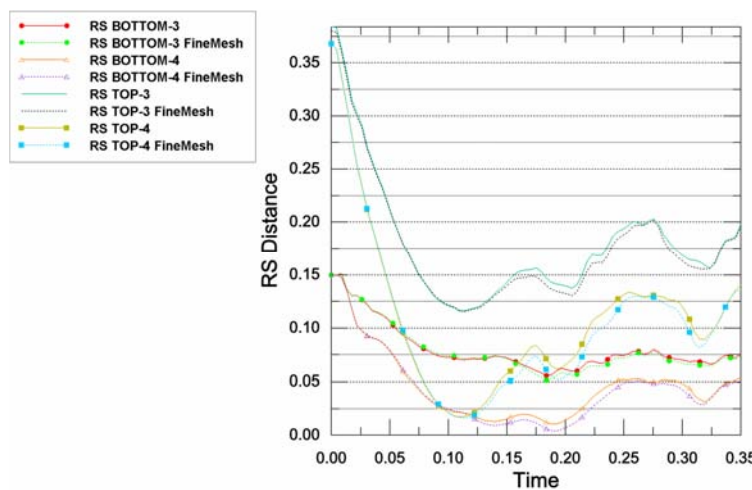
(حتی در صورت استفاده از شبکه‌بندی ریزتر که تغییرشکل آنها کمی بیشتر می‌شود) شرایط آئین‌نامه را با موفقیت پشت‌سر می‌گذارند. به عبارت دیگر چنین می‌توان گفت که استفاده از شبکه‌بندی ریزتر تأییدی بر صحت تحلیلهای انجام گرفته روی مقاطع بهینه شده است. از طرف دیگر با توجه به امکانات موجود، بررسی مسئله با شبکه‌بندی ریزتر از این مقدار، نامعقول به نظر می‌رسد.

اتوبوس O457 پس از بهینه‌سازی، شرایط تعیین شده در آئین‌نامه واژگونی را با موفقیت پشت‌سر می‌گذارد و اصطلاحاً در آئین‌نامه تأیید می‌شود. وزن اضافه شده ناشی از کاربرد

شبیه‌سازی آزمون رول اور، تفاوت محسوسی میان مدل‌های تهیه شده با المانهای ریز و درشت، مشاهده نمی‌شود. به همین منظور برای مشاهده این تفاوت‌ها، در هر مقطع-بدنه یک یا دو ستون که تغییرشکل بیشتری دارند برای مقایسه نتایج بدست آمده به کار می‌رود. مقایسه بین فواصل RS.BOTTOM و RS.TOP در ستونهایی که بیشترین تغییرشکل را دارند، برای هر یک از سه مقطع-بدنه جلویی، میانی و عقبی به ترتیب در شکل‌های (۳۱) تا (۳۴) قابل مشاهده است. از سه تصویر اخیر چنین بر می‌آید که اگر چه اختلاف میان نتایج مربوط به شبکه‌بندی ریزتر در بعضی نقاط زیاد است، اما ستونهای تحلیل شده در هر حال



شکل ۳۳- مقایسه فواصل RS Distance برای ستون چهارم از مقطع بدن میانی، در دو حالت شبکه‌بندی



شکل ۳۴- مقایسه فواصل RS Distance برای ستونهای سوم و چهارم از مقطع بدن عقبی، در دو حالت شبکه‌بندی

گرفت. هدف از انجام این تحقیق، مطالعه عملکرد سازه در حین واژگونی و بررسی اراضی شرایط آییننامه واژگونی توسط اتوبوس مذکور است. چنانچه مشاهده شد، تغییرشکل‌های ایجاد شده در سازه بیش از حد مجاز تعیین شده در استاندارد بوده و اتوبوس O457 فعلی نمی‌تواند شرایط تعیین شده در آزمون واژگونی ECE66 را ارضاء کند. با اعمال تغییراتی ساده ولی مؤثر در بدن، اتوبوس مذکور قادر خواهد بود شرایط آزمون را ارضاء کند. همچنین نتایج و نمودارهای به دست آمده به صورت کیفی با نتایج تجربی دیگران بر روی اتوبوسهای تقریباً مشابه مقایسه شده و روند قابل قبولی داشته‌اند.

صفحات تقویتی در کل بدن اتوبوس کمتر از ۲۰۵ کیلو گرم می‌باشد، یعنی چیزی در حدود وزن سه مسافر. توضیح آنکه این مقدار در برابر وزن کل اتوبوس که حدود ۱۲ تن است، ناچیز بوده و اثرات محسوسی روی پایداری و دینامیک خودرو نخواهد گذاشت. همچنین اعمال این تغییرات در روند ساخت، دشوار نیست.

۶- نتیجه‌گیری

در این مقاله شبیه‌سازی آزمایش واژگونی به روش عددی و به کمک روش اجزای محدود بر روی اتوبوس O457 انجام

واژه نامه

- | | | |
|-------------------|--------------------|--------------------|
| 1. tripped | 4. body section | 7. solid break |
| 2. untripped | 5. super structure | 8. 8-hourglassing |
| 3. residual space | 6. conventional | 9. abaqus explicit |

مراجع

1. Conroy, C., David, B., Hoyt, A., Eastman, B., Erwin, S., Pacyna, Sh., Holbrook, T.L., Vaughan, T., Sise, M., Kennedy, F., and Velky, T., "Rollover Crashes: Predicting Serious Injury Based on Occupant, Vehicle and Crash Characteristics, *Accident Analysis & Prevention*," No.38, pp.835-842, 2006.
2. Henty, M. E., "Virtual Simulation of a Pickup Truck Rollover Test using the Nonlinear Finite Element Code PAM-CRASH," Master Thesis, The Pennsylvania State University, May 2003.
3. Initiatives to Address the Mitigation of Vehicle Rollover, National Highway Traffic Safety Administration (NHTSA) Report, June 2003.
4. Fatality Analysis Reporting System (FARS), National Automotives Sampling System (NASS) & Crashworthiness Data System (CDS) From Police-Reported Rollover Crashes, 2001.
5. Nii, N., and Nakagawa, K., 'Rollover Analysis Method of Large-Sized Bus,' *Isuzu Motors Ltd Japan*, Paper No 96-S11-O-05, pp. 1845-1853, 1996.
6. Belingardi G., Gastaldin D., Martella P., and Peroni L., "Coach Passenger Injury Risk During Rollover: Influence of the Seat and the Restraint System," *Department of Mechanical Engineering, Polytechnic of Torino*, Paper No 05-0439, 2005.
7. Rollover Standard ECE No.66, "UNIFORM TECHNICAL PRESCRIPTIONS CONCERNING THE APPROVAL OF LARGE PASSENGER VEHICLES WITH REGARD TO THE STRENGTH OF THEIR SUPERSTRUCTURE," 2006.
8. ABAQUS Documentation, Version 6.6".
9. Matolcsy M., "Body Section Rollover Test as an Approval Method for Required Strength of Bus Superstructure," *SAE Technical Paper Series*, Vol. #2001-01-3209, PP 25-31, 2001.
10. Koji, K., Yutaka, K., Hidehiko, E., and Shigeaki, Sh., "An Analysis Method for Rollover Strength of Bus Structures, *Hino Motors Ltd Japan*, Paper No 94-S11-O-11, pp. 1776-1784, 1994.